

# ЯВНАЯ РАЗНОСТНАЯ СХЕМА РЕШЕНИЯ ОДНОМЕРНОГО КВАЗИЛИНЕЙНОГО УРАВНЕНИЯ ТЕПЛОПРОВОДНОСТИ

**А.В. Геренштейн<sup>1</sup>, М.З. Хайрисламов<sup>2</sup>**

Предлагается численный метод решения третьей смешанной задачи для одномерного квазилинейного уравнения теплопроводности параболического типа, основанный на использовании явной разностной схемы. Зависимость коэффициентов уравнения от температуры преодолевается введением новой искомой функции – первообразной теплопроводности.

*Ключевые слова:* теплопроводность, квазилинейное уравнение теплопроводности, явные разностные схемы, аппроксимация.

В настоящей работе используются идеи, изложенные в работах [1, 2], в которых была предложена и обоснована явная устойчивая схема для линейного уравнения теплопроводности.

## Постановка задачи

Рассмотрим следующую постановку третьей смешанной задачи для одномерного однородного квазилинейного уравнения [3]:

$$\begin{cases} c(u) \frac{\partial u}{\partial t} = \frac{\partial}{\partial x} \left( q(u) \frac{\partial u}{\partial x} \right), & 0 < t \leq T, 0 < x < L, \\ u(x, 0) = \varphi(x), \\ - \left( q(u) \frac{\partial u}{\partial x} \right) \Big|_{x=0} = \lambda_l(u(0, t))(\theta_l - u(0, t)) + Q_l, \\ \left( q(u) \frac{\partial u}{\partial x} \right) \Big|_{x=L} = \lambda_r(u(L, t))(\theta_r - u(L, t)) + Q_r, \end{cases} \quad (1)$$

где  $u = u(x, t)$  – искомая функция (температура стержня),  $0 \leq x \leq L$ ,  $0 \leq t \leq T$ ;  $L$  – длина стержня;  $T$  – конечный момент времени;  $c(u)$  – заданная объемная теплоемкость материала стержня;  $q(u)$  – заданная теплопроводность материала стержня;  $\varphi(x)$  – заданная функция начального распределения температуры стержня;  $\lambda_l(u)$  – коэффициент теплоотдачи на левом конце стержня;  $\lambda_r(u)$  – коэффициент теплоотдачи на правом конце стержня;  $\theta_l$  – температура внешней среды на левом конце стержня;  $\theta_r$  – температура внешней среды на правом конце стержня;  $Q_l$  – мощность потока тепла на левом конце стержня;  $Q_r$  – мощность потока тепла на правом конце стержня. Функции  $c = c(u)$ ,  $q = q(u)$ ,  $\lambda_l = \lambda_l(u)$  и  $\lambda_r = \lambda_r(u)$  предполагаются непрерывными функциями температуры, заданными для всех значений температуры.

## Замена искомой функции

Поскольку в уравнении присутствует член  $q(u) \frac{\partial u}{\partial x}$ , то удобно сделать следующую замену:

$$G(u) = \int_0^u q(\xi) d\xi.$$

Тогда для функции  $G$  получим уравнение

$$\frac{\partial G}{\partial t} = a^2(u) \frac{\partial^2 G}{\partial x^2}, \quad (2)$$

<sup>1</sup> Геренштейн Аркадий Васильевич – доцент, кандидат физико-математических наук, кафедра прикладной математики, Южно-Уральский государственный университет

<sup>2</sup> Хайрисламов Михаил Зинатуллаевич – аспирант, кафедра прикладной математики, Южно-Уральский государственный факультет  
E-mail: zinatmk@gmail.com

где  $a(u) = \sqrt{\frac{q(u)}{c(u)}}$  – коэффициент температуропроводности.

Функция  $G(u)$  является строго монотонной функцией температуры.

### Вывод рабочих формул

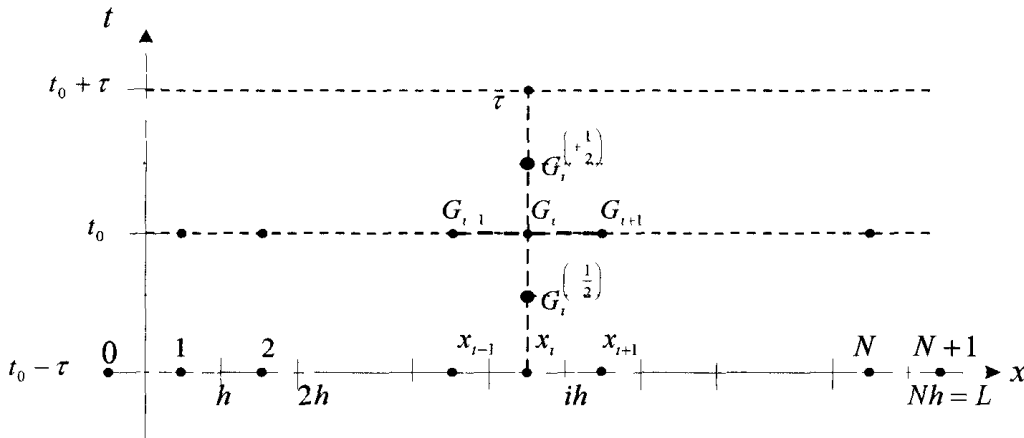
На плоскости  $(x, t)$  используется равномерная сетка [2]

$$\omega_{hr} = \omega_h \times \omega_\tau, \quad \omega_h = \left\{ x_i = \left(i - \frac{1}{2}\right)h, i = 1, 2, \dots, N \right\},$$

$$\omega_\tau = \{t_j = j\tau, j = 0, 1, \dots\},$$

где  $h = \frac{L}{N}$  – шаг по переменной  $x$ ,  $\tau$  – шаг по переменной  $t$ . Шаблон предлагаемой схемы представлен на рисунке.

Пусть  $G_i(t) = G\left(\left(i - \frac{1}{2}\right)h, t\right)$  – значения функции  $G$  в сечении  $x = \left(i - \frac{1}{2}\right)h$ . Запишем уравнение (2) для точки  $\left(\left(i - \frac{1}{2}\right)h, t\right)$ , заменив вторую производную по пространственной координате на соответствующее разностное соотношение:



Шаблон разностной схемы

$$\frac{dG_i(t)}{dt} = a^2(u_i) \frac{G_{i-1}(t) - 2G_i(t) + G_{i+1}(t)}{h^2}, \quad t \in [0; \tau], \quad i = 2, \dots, N-1. \quad (3)$$

Аппроксимируем значения  $G_{i-1}(t)$  и  $G_{i+1}(t)$  с точностью до членов первого порядка малости:

$$G_{i-1}(t) \approx G_{i-1}(0) + \frac{dG_{i-1}}{dt}(0)t, \quad G_{i+1}(t) \approx G_{i+1}(0) + \frac{dG_{i+1}}{dt}(0)t.$$

В результате уравнение (3) преобразуется к виду

$$\frac{dG_i(t)}{dt} + \frac{2a^2(u_i)}{h^2} G_i(t) = \frac{a^2(u_i)}{h^2} \left( G_{i-1}(0) + G_{i+1}(0) + \left( \frac{dG_{i-1}}{dt}(0) + \frac{dG_{i+1}}{dt}(0) \right) t \right). \quad (4)$$

Погрешность аппроксимации оказывается равной  $O\left(\frac{\tau^2}{h^2}\right)$ , даже если производные  $\frac{dG_{i-1}}{dt}(0)$  и  $\frac{dG_{i+1}}{dt}(0)$  вычисляются по формулам первого порядка точности.

Решением уравнения (4) является функция

$$G_i(t) = (G_i(0) - B)e^{-\frac{2a^2(u_i)}{h^2}t} + At + B, \quad t \in [0; \tau],$$

$$\text{где } A = \frac{1}{2} \left( \frac{dG_{i-1}}{dt}(0) + \frac{dG_{i+1}}{dt}(0) \right), \quad B = \frac{G_{i-1}(0) + G_{i+1}(0)}{2} - A \cdot \frac{h^2}{2a^2(u_i)}.$$

Для обозначения значений сеточной аппроксимации функции  $G$  на следующем временном слое будем использовать верхний индекс (+1), а на предыдущем – верхний индекс (-1), на следующем полуцелом временном слое –  $\left(+\frac{1}{2}\right)$ , а на предыдущем полуцелом временном слое –  $\left(-\frac{1}{2}\right)$  (см. рисунок). Запишем теперь разностные аппроксимации для производных  $\frac{dG_{i-1}}{dt}(0)$  и

$$\frac{dG_{i+1}}{dt}(0):$$

$$\frac{dG_{i-1}}{dt}(0) = \frac{G_{i-1}^{\left(+\frac{1}{2}\right)} - G_{i-1}^{\left(-\frac{1}{2}\right)}}{\tau}, \quad \frac{dG_{i+1}}{dt}(0) = \frac{G_{i+1}^{\left(+\frac{1}{2}\right)} - G_{i+1}^{\left(-\frac{1}{2}\right)}}{\tau}.$$

Окончательно расчетная формула приобретает вид

$$G_i^{(1)} = (G_i - B)e^{-\frac{2a^2(u_i)\tau}{h^2}} + A\tau + B, \quad (5)$$

$$\text{где } A = \frac{1}{2\tau} \left( G_{i-1}^{\left(+\frac{1}{2}\right)} - G_{i-1}^{\left(-\frac{1}{2}\right)} + G_{i+1}^{\left(+\frac{1}{2}\right)} - G_{i+1}^{\left(-\frac{1}{2}\right)} \right), \quad B = \frac{G_{i-1} + G_{i+1}}{2} - A \cdot \frac{h^2}{2a^2(u_i)}.$$

Для расчета значений функции  $G$  на временном слое  $t = \tau$ , а также для вычисления значений функции в полуцелых слоях по времени можно воспользоваться формулами:

$$G_i(\tau) = G_i e^{-\frac{2a^2(u_i)\tau}{h^2}} + \left( 1 - e^{-\frac{2a^2(u_i)\tau}{h^2}} \right) \frac{G_{i-1} + G_{i+1}}{2}, \quad (6)$$

$$G_i^{\left(+\frac{1}{2}\right)} = G_i e^{-\frac{a^2(u_i)\tau}{h^2}} + \left( 1 - e^{-\frac{a^2(u_i)\tau}{h^2}} \right) \frac{G_{i-1} + G_{i+1}}{2}. \quad (7)$$

Для применения формул (5)–(7) необходимо по данному значению  $G_i$  найти температуру  $u_i$  такую, что  $G_i = \int_0^{u_i} q(\xi) d\xi$ . В силу монотонности функции  $G(u)$  эту задачу можно решить методом деления отрезка пополам (дихотомии).

## Аппроксимация краевых условий

Для выполнения краевых условий введены фиктивные узлы с номерами 0 и  $N+1$  (см. рисунок): сначала рассчитываются значения искомой функции во внутренних точках, после чего исходя из краевых условий задаются ее значения в фиктивных узлах.

Перепишем краевое условие на левом конце в задаче (1) с учетом замены искомой функции:

$$\left. -\frac{\partial G}{\partial x} \right|_{x=0} = \lambda_l(u(0, t))(\theta_l - u(0, t)) + Q_l. \quad (8)$$

Обозначим через  $G^{-1}$  функцию, обратную к функции  $G$ , производную  $\left. \frac{\partial G}{\partial x} \right|_{x=0}$  аппроксимируем

разделенной разностью  $\left. \frac{\partial G}{\partial x} \right|_{x=0} = \frac{G_1 - G_0}{h}$ , а значение  $G(0, t)$  – полусуммой  $G(0, t) = \frac{G_0 + G_1}{2}$ . Тогда условие (8) может быть записано в виде

$$-\frac{2G_1}{h} + \frac{2}{h} G\left(G^{-1}\left(\frac{G_0 + G_1}{2}\right)\right) = \lambda_l\left(G^{-1}\left(\frac{G_0 + G_1}{2}\right)\right)(\theta_l - G^{-1}\left(\frac{G_0 + G_1}{2}\right)) + Q_l. \quad (9)$$

Обозначив  $z = G^{-1}\left(\frac{G_0 + G_1}{2}\right)$ , из (9) получим уравнение относительно  $z$ :

$$\frac{2}{h} \cdot G(z) - \lambda_l(z)(\theta_l - z) = \frac{2G_1}{h} + Q_l. \quad (10)$$

Считаем, что функции  $q(u)$ ,  $c(u)$ ,  $\lambda_l(u)$  и  $\lambda_r(u)$  заданы таблично на некотором конечном множестве точек оси температур. Пусть это множество точек есть множество чисел  $\{z_1 = 0, z_2, \dots, z_m\}$ . Для вычисления функций в остальных точках температуры используется кусочно-линейная аппроксимация. Поэтому уравнение (10) на каждом промежутке  $[z_i; z_{i+1}]$ ,  $i = \overline{1, m-1}$  является в общем случае квадратным. Несложные выкладки позволяют записать его в виде

$$Az^2 + Bz + C = 0, \quad (11)$$

где

$$\begin{aligned} A &= \frac{q(z_{i+1}) - q(z_i)}{(z_{i+1} - z_i)h} + \frac{\lambda_l(z_{i+1}) - \lambda_l(z_i)}{z_{i+1} - z_i}, \\ B &= \frac{2}{h} \cdot \frac{q(z_i)z_{i+1} - q(z_{i+1})z_i}{z_{i+1} - z_i} - \frac{\lambda_l(z_{i+1}) - \lambda_l(z_i)}{z_{i+1} - z_i} \theta_l + \frac{\lambda_l(z_i)z_{i+1} - \lambda_l(z_{i+1})z_i}{z_{i+1} - z_i}, \\ C &= \frac{2}{h} \cdot \left( \int_0^{z_i} q(\xi) d\xi - q(z_i)z_i + \frac{q(z_{i+1}) - q(z_i)}{z_{i+1} - z_i} \cdot \frac{z_i^2}{2} \right) - \frac{\lambda_l(z_i)z_{i+1} - \lambda_l(z_{i+1})z_i}{z_{i+1} - z_i} \theta_l - \frac{2G_1}{h} - Q_l. \end{aligned}$$

Если  $z^*$  – корень уравнения (11), принадлежащий промежутку  $[z_i; z_{i+1}]$ , то искомое значение  $G_0$  в фиктивном узле с номером 0 будет равно

$$G_0 = 2G(z^*) - G_1.$$

Рассуждения для правого конца стержня аналогичны.

### Результаты численных расчетов

Для проведения расчетов взята следующая третья смешанная задача:

$$\begin{cases} c(u) \frac{\partial u}{\partial t} = \frac{\partial}{\partial x} \left( q(u) \frac{\partial u}{\partial x} \right), & 0 < t \leq T, \quad 0 < x < L, \\ u(x, 0) = \varphi_0, \\ - \left( q(u) \frac{\partial u}{\partial x} \right) \Big|_{x=0} = \lambda_l(u(0, t))(\theta_l - u(0, t)) + Q_l, \\ \left( q(u) \frac{\partial u}{\partial x} \right) \Big|_{x=L} = \lambda_r(u(L, t))(\theta_r - u(L, t)) + Q_r, \end{cases} \quad (12)$$

где  $T = 100$  с,  $L = 1$  м,  $\varphi_0 = 22$  °C,  $\theta_l = 1400$  °C,  $\theta_r = 1400$  °C,  $Q_l = 10^5$  Дж/(м<sup>2</sup>с),  $Q_r = 0$  Дж/(м<sup>2</sup>с), а функции  $c(u)$ ,  $q(u)$ ,  $\lambda_l(u)$  и  $\lambda_r(u)$  заданы в табл. 1.

Таблица 1

Значения входных параметров задачи, являющихся функциями температуры

Параметр	Температура, °C									
	0	100	200	300	400	500	600	700	800	1000
$c(u)$ , 10 <sup>6</sup> Дж/(м <sup>3</sup> ·°C)	3,414	3,568	4,040	4,347	4,812	5,272	5,886	7,286	7,218	7,218
$q(u)$ , Дж/(м <sup>3</sup> ·°C)	22,5	23,4	24,8	26,7	27,2	27,7	28,1	28,6	27	27
$\lambda_l(u)$ , Дж/(м <sup>2</sup> ·с·°C)	100	100	110	120	130	140	150	160	170	170
$\lambda_r(u)$ , Дж/(м <sup>2</sup> ·с·°C)	100	120	130	140	150	150	150	150	150	150

Результаты численных расчетов по предложенной схеме приведены в табл. 2. В связи с тем, что точное решение задачи (12) неизвестно, проводилось сравнение решения, полученного по предложенной схеме, с решением, полученным по чисто неявной схеме, которая является безусловно сходящейся [3, 5].

Таблица 2

Максимальная относительная погрешность решения в сравнении с решением по чисто неявной схеме

Число узлов $N$	Величина шага по времени $\tau$ , с			
	0,01	0,05	0,1	0,5
40	$4,7 \cdot 10^{-4}$	$4,5 \cdot 10^{-4}$	$1,52 \cdot 10^{-3}$	$1,72 \cdot 10^{-3}$
60	$1,12 \cdot 10^{-3}$	$1,12 \cdot 10^{-3}$	$1,19 \cdot 10^{-3}$	$2,18 \cdot 10^{-3}$
80	$9,9 \cdot 10^{-4}$	$1,0 \cdot 10^{-3}$	$1,06 \cdot 10^{-3}$	$2,15 \cdot 10^{-3}$
100	$7,5 \cdot 10^{-4}$	$7,7 \cdot 10^{-4}$	$8,7 \cdot 10^{-4}$	$2,25 \cdot 10^{-3}$
150	$4,2 \cdot 10^{-4}$	$4,7 \cdot 10^{-4}$	$5,9 \cdot 10^{-4}$	$2,43 \cdot 10^{-3}$
200	$2,7 \cdot 10^{-4}$	$3,4 \cdot 10^{-4}$	$5,0 \cdot 10^{-4}$	$2,67 \cdot 10^{-3}$

## Литература

- Геренштейн, А.В. Нагревание круга движущимся теплоисточником / А.В. Геренштейн, Н. Машрабов // Обозрение прикладной и промышленной математики. – 2008. – Т. 15, № 5. – С. 870–871.
- Геренштейн, А.В. Устойчивые явные схемы для уравнения теплопроводности / А.В. Геренштейн, Е.А. Геренштейн, Н. Машрабов // Вестник ЮУрГУ. Серия «Математическое моделирование и программирование». – 2008. – Вып. 1. – № 15(115). – С. 9–11.
- Самарский, А.А. Теория разностных схем / А.А. Самарский. – М.: Наука, 1989. – 616 с.
- Годунов, С.К. Разностные схемы / С.К. Годунов, В.С. Рябенький. – М.: Наука, 1977. – 440 с.
- Калиткин, Н.Н. Численные методы / Н.Н. Калиткин; под. ред. А.А. Самарского. – М.: Наука, 1978. – 512 с.
- Шуп, Т. Решение инженерных задач на ЭВМ / Т. Шуп. – М.: Мир, 1982. – 235 с.
- Геренштейн, А.В. Расчет температурных полей в цилиндре при действии поверхностных тепловых источников «Тепло 4.0» / А.В. Геренштейн, Н. Машрабов, Е.А. Геренштейн // Государственная регистрация в Отраслевом фонде алгоритмов и программ № 9776, 20.02.2008. – М.: ФГНУ ГКЦИТ, 2008.
- Машрабов, Н. Расчет температурных полей в цилиндре при действии поверхностных тепловых источников «Тепло 5.0» / Н. Машрабов, А.В. Геренштейн, Е.А. Геренштейн // Свидетельство о государственной регистрации программ для ЭВМ №2008612210, 30.04.2008, РОСПАТЕНТ.

## EXPLICIT DIFFERENCE SCHEME FOR THE SOLUTION OF ONE-DIMENSIONAL QUASI-LINEAR HEAT CONDUCTIVITY EQUATION

A.V. Herreinstein<sup>1</sup>, M.Z. Khayrislamov<sup>2</sup>

Numerical method for the solution of the third mixed boundary value problem for one-dimensional quasi-linear heat conductivity equation of a parabolic type based on the use of explicit difference scheme is given. Dependence of coefficients on temperature is overcome by the introduction of the new required function that is a primitive integral of conductivity.

*Keywords:* thermal conductivity, quasi-linear heat conductivity equation, explicit difference schemes, approximation.

### References

1. Herreinstein A.V., Mashrabov N. Nagrevanie kruga dvizhushchimya teploistochnikom [Circle heating by moving heat source]. *Obozrenie prikladnoj i promyshlennoj matematiki*. 2008. Vol. 15, no. 5. pp. 870–871. (in Russ.).
2. Herreinstein A.W., Herreinstein E.A., Mashrabov N. Ustojchivye yavnye skhemy dlya uravneniya teploprovodnosti [Steady Obvious Schemes for Equation of Heat Conductivity]. *Vestnik YuUrGU. Seriya «Matematicheskoe modelirovanie i programmirovaniye»*. 2008. Issue 1. no. 15(115). pp. 9–11. (in Russ.).
3. Samarskij A.A. *Teoriya raznostnykh skhem* [Theory of difference schemes]. Moscow: Nauka, 1989. 616 p. (in Russ.).
4. Godunov S.K., Ryaben'kij B.C. *Raznostnye skhemy* [Difference schemes]. M.: Nauka, 1977. 440 p. (in Russ.).
5. Kalitkin N.N. *Chislennye metody* [Numerical methods]. M.: Nauka, 1978. 512 p. (in Russ.).
6. Shup T. Reshenie inzhenernykh zadach na EVM [The solution of engineering problems with a computer]. Moscow: Mir, 1982. 235 p. (in Russ.).
7. Herreinstein A.V., Mashrabov N., Herreinstein E.A. Raschet temperaturnykh polej v cilindre pri dejstvii poverxnostnykh teplovых istochnikov «Teplo 4.0» [Calculation of temperature patterns in a cylinder at surface heat sources “Teplo 4.0” effect]. *Gosudarstvennaya registraciya v Otraslevom fonde algoritmov i programm № 9776*. 20.02.2008. Moscow: FGNU GKCIT, 2008. (in Russ.).
8. Mashrabov N., Herreinstein A.V., Herreinstein E.A. Raschet temperaturnykh polej v cilindre pri dejstvii poverkhnostnykh teplovых istochnikov «Teplo 5.0» [Calculation of temperature patterns in a cylinder at surface heat sources “Teplo 5.0” effect]. *Svidetel'stvo o gosudarstvennoj registraci programm dlya EVM №2008612210*. 30.04.2008. ROSPATENT [Certificate of state registration of computer program No. 2008612210. 30.04.2008. ROSPATENT]. (in Russ.).

Поступила в редакцию 27 декабря 2012 г.

<sup>1</sup> Herreinstein Arcady Vasilevich is Cand. Sc. (Physics and Mathematics), Associate Professor, Applied Mathematics Department, South Ural State University.

<sup>2</sup> Khayrislamov Mikhail Zinatullaevich is Post-Graduate student, Applied Mathematics Department, South Ural State University.  
E-mail. zinatmk@gmail.com